

## ШУМ, ДЛИНА СЛОВА КОЭФФИЦИЕНТОВ И ПОРЯДОК БИХ-ФИЛЬТРОВ

к.т.н. Мингазин А.Т.

РАДИС Лтд, Москва, Зеленоград, E-mail: [alexmin@radis.ru](mailto:alexmin@radis.ru)

Для БИХ-фильтров нижних частот проведен анализ зависимостей выходного отношения Ш/С и длины слова коэффициентов от порядка фильтров. Сравниваются две каскадные структуры на звеньях прямой и оптимальной формы и две структуры на основе фазовых цепей на звеньях прямой и волновой формы. Полагается, что структуры фильтров оперируют с фиксированной точкой. Длина слова коэффициентов минимизируется с помощью однопараметрического алгоритма вариации исходных параметров. Для каскадных фильтров отношение Ш/С минимизируется с помощью встроенной в этот алгоритм процедуры эвристической расстановки звеньев.

DSPA, 2018, V.1, March, pp.208-213

## NOISE, COEFFICIENT WORDLENGTH AND ORDER OF IIR FILTERS

Ph.D. Mingazin A.T.

RADIS Ltd, Russia, Moscow, Zelenograd

The comparative analysis of the output roundoff noise-signal ratio and coefficient wordlength dependences from the filter order for fixed-point low-pass IIR filters is presented. Two cascade filter structures on the direct and optimal form sections and two filter structures based on all-pass networks on the direct and wave form sections are discussed. An one-parameter algorithm based on variation of initial parameters leads to the minimum coefficient wordlength. A heuristic section allocation procedure built-in this algorithm minimizes the noise-signal ratio for the cascade filters.

**Введение.** Публикации [1-3] посвящены сравнительному анализу структур БИХ-фильтров в условиях конечной арифметики. В [1] сравниваются уровни усиления шума округления фазовых звеньев волновой и прямой формы, звеньев Митры-Хирано, а также уровни усиления шума и длина слова коэффициентов фильтров нижних частот на основе этих звеньев. Анализу уровней усиления шума каскадных фильтров нижних частот с непрерывными коэффициентами на звеньях прямой, канонической и оптимальной формы посвящена работа [2], где также сопоставлены простые правила и оптимальный метод полюсно-нулевой расстановки для минимизации этих уровней. В [3] проводится анализ полосовых фильтров применительно к двум каскадным структурам на звеньях прямой и оптимальной формы, а также к двум структурам на основе фазовых цепей на звеньях прямой и волновой (на базе адаптеров из [4]) формы по ряду параметров шума, границе предельного цикла и длине слова коэффициентов. Для минимизации длины слова коэффициентов используется однопараметрический алгоритм вариации исходных параметров (ВИП), а для минимизации выходного отношения Ш/С в каскадных фильтрах применена встроенная в этот алгоритм процедура [5], генерирующая пять эвристических расстановок звеньев с одинаковым формированием полюсно-нулевых пар. Эта процедура приводит к оптимальным результатам, в частности полученным в [2], или очень близким к таковым.

В данной работе продолжены исследования четырех названных структур БИХ-фильтров, с применением тех же методов, что и в [3]. Сравнительный анализ сосредоточен на исследовании зависимостей отношения Ш/С и длины слова коэффициентов от порядка фильтров нижних частот. Как и в [1-3] предполагается оперирование всех структур с фиксированной точкой.

**Описание четырех структур БИХ-фильтров.** Представим передаточные функции звеньев на базе которых строятся обсуждаемые структуры фильтров. Индексацию коэффициентов, обозначающую номер звена в структуре, опустим.

Каскадные фильтры нижних частот состоят из звеньев не выше второго. Передаточные функции звеньев второго порядка прямой и оптимальной формы имеют вид

$$H_i(z) = \frac{b_0 + b_1 z^{-1} + b_2 z^{-2}}{1 + a_1 z^{-1} + a_2 z^{-2}} \quad \text{и} \quad H_i(z) = \mathbf{C}(\mathbf{zI} - \mathbf{A})^{-1} \mathbf{B} + d ,$$

где **A**, **B** и **C** - матрицы  $2 \times 2$ ,  $2 \times 1$  и  $1 \times 2$ , соответственно, **I** - единичная матрица  $2 \times 2$ . Будем обозначать каскадные фильтры на звеньях прямой и оптимальной формы как КПФ и КОФ.

Фильтры нижних частот на основе параллельного соединения двух фазовых цепей могут быть только нечетного порядка. Каждая цепь - это каскад звеньев не выше второго порядка. Передаточные функции фазовых звеньев второго порядка прямой и волновой формы имеют вид

$$P_i(z) = \frac{a_2 + a_1 z^{-1} + z^{-2}}{1 + a_1 z^{-1} + a_2 z^{-2}} \quad \text{и} \quad P_i(z) = \frac{-\gamma_1 + \gamma_2(\gamma_1 - 1)z^{-1} + z^{-2}}{1 + \gamma_2(\gamma_1 - 1)z^{-1} - \gamma_1 z^{-2}}.$$

Положим, что для обсуждаемых фильтров используется  $L_\infty = 1$  - масштабирование, масштабные множители учитываются в коэффициентах представленных передаточных функций. В фильтрах на основе фазовых цепей это обеспечивается автоматически. Однако для уменьшения шума в фильтрах на волновых звеньях из [4] применим  $L_\infty$  - масштабирование внутри этих звеньев с помощью множителей равных степени два (см. [1,3]). Будем обозначать фильтры на основе фазовых цепей на звеньях прямой и волновой формы как ФПФ и ФВФ.

**Длина слова коэффициентов и отношение Ш/С.** Дадим два определения, которые потребуются для дальнейшего изложения.

Под длиной слова коэффициентов фильтра будем понимать величину  $M = -\log_2 q$ , где  $q$  - шаг квантования коэффициентов равный степени два.

Как и в [3] используем вероятностную модель округления чисел, ограниченных единицей. Положим, что округление выполняется в каждом звене после суммирования и гармонический входной сигнал имеет единичную амплитуду. В этом случае отношение шум округления / сигнал на выходе фильтра равно

$$\text{Ш/С} = 10 \lg \frac{2GV^2}{3|H(z)|_{\max}^2} - 6B = 10 \lg R - 6B,$$

где  $H(z)$  - передаточная функция фильтра,  $G$  - усиление мощности шума округления,  $V=1$  при  $V_{\max} \leq 1$  и  $V=V_{\max}$  при  $V_{\max} > 1$ ,  $V_{\max}$  - максимум из всех максимумов модулей промежуточных передаточных функций (в том числе  $|H(z)|_{\max}$ ), подвергнутых масштабированию,  $B$  - длина слова переменных с учетом знака, сохраняемая после округления.

Поясним введение параметра  $V$ . Для фильтров на основе фазовых цепей всегда  $V=1$ . В каскадных структурах, особенно при грубом шаге квантования коэффициентов, максимумы модулей промежуточных передаточных функций, могут превысить единицу. В этом случае  $V=V_{\max}$ . На практике это означает, что входной сигнал фильтра должен быть ограничен величиной  $1/V_{\max}$ . В дальнейшем будем называть отношением Ш/С величину  $\text{Ш/С} + 6B$ , т.е. параметр  $10 \lg R$ .

**Сравнение структур.** Зададимся следующими требованиями к АЧХ фильтра нижних частот:  $f_{1н}=0,04$ ,  $f_{2н}=0,08$ ,  $\Delta a_{\max}=1$ дБ,  $a_{0\min}=80$ дБ. В этом перечне параметров даны две номинальные граничные частоты, а также предельно допустимые неравномерность и минимальное ослабление, соответственно в полосе пропускания и задерживания. Частота дискретизации равна единице.

Данным требованиям удовлетворяет фильтр Золотарева-Кауэра минимального порядка  $N=6$  и с ослаблением  $a_0=a_{0\max} \approx 87$  дБ. С ростом  $N$  при фиксированных остальных требованиях к фильтру ослабление будет расти. С другой стороны, каждому значению  $N \geq 6$  при  $a_0=a_{0\min}=80$ дБ соответствует свое значение  $\Delta a_{\min}$ , уменьшающееся с ростом  $N$ , так, например, при  $N=6$  и  $N=15$  имеем  $\Delta a_{\min} \approx 0,183$ дБ и  $\Delta a_{\min} \approx 2,6e-17$ дБ.

На рисунках 1а, б для каскадных структур при  $\Delta a = \Delta a_{\max}$  и  $\Delta a = \Delta a_{\min}$  представлены три варианта зависимости отношения Ш/С от  $N$ , а именно для упрощенных расстановок звеньев - в порядке уменьшения (кривая 1) и увеличения (кривая 2) полюсных радиусов звеньев, а также для упомянутой выше эвристической расстановки, лучшей из пяти возможных (кривая 3). Поллюсно-

нулевое объединение для всех кривых соответствует хорошо известному правилу ближайших полюсов и нулей [2,3,5].

При  $\Delta a = \Delta a_{\max}$  с ростом  $N$  наблюдается увеличение отношения Ш/С, причем степень увеличения существенно меньше для эвристической расстановки звеньев в сравнении с двумя другими ( $\approx 10$  дБ против  $\approx 30-35$  дБ при изменении  $N$  от 6 до 15).

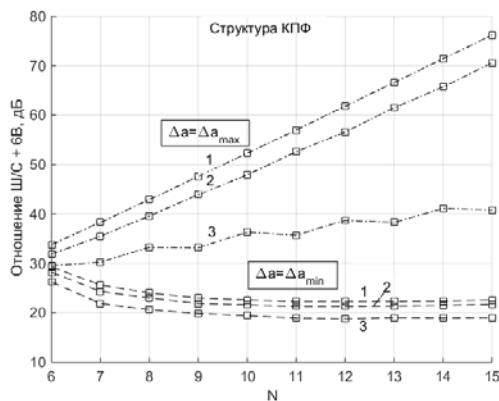
При  $\Delta a = \Delta a_{\min}$  с ростом  $N$  наблюдается уменьшение отношения Ш/С, правда в самом начале кривых и всего на несколько децибел, а затем - незначительное увеличение. В этом случае кривые 1-3 очень близки.

Подъем кривых на рисунках 1а, б объясняется ростом количества источников шума и их уровней, а спад – компенсацией этого роста снижением шума от каждого источника.

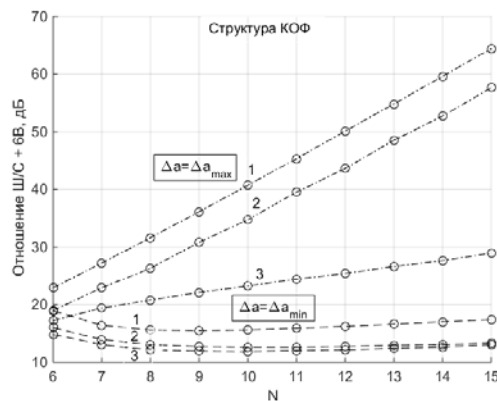
Как показывают дополнительные расчеты для граничных частот  $f_{1n}=0,01$ ,  $0,25$  и  $0,49$  при сохранении отношения  $\text{tg}(\pi f_{2n})/\text{tg}(\pi f_{1n})=2,03244$ , соответствующего  $f_{1n}=0,04$  и  $f_{2n}=0,08$ , степень различия кривых 1-3 примерно сохраняется, причем как при  $\Delta a = \Delta a_{\min}$ , так и при  $\Delta a = \Delta a_{\max}$ .

Для удобства сравнения на рисунках 1в, г даны зависимости отношения Ш/С от  $N$  для всех четырех структур при  $\Delta a = \Delta a_{\max}$  и  $\Delta a = \Delta a_{\min}$ . Для каскадных структур эти зависимости перенесены с рисунков 1а, б и соответствуют кривым 3. Как видим наилучший результат дает структура КОФ, а наихудший – структура КПФ.

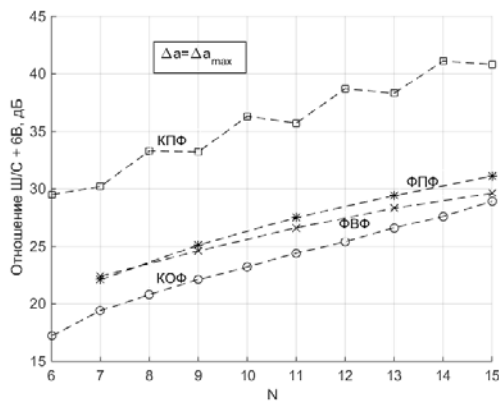
Зависимости отношения Ш/С от  $N$  для квантованных коэффициентов показаны на рисунке 2а. Здесь каждому значению  $N$  соответствует длина слова коэффициентов  $M$ , полученная алгоритмом ВИП, в котором исходный параметр  $\Delta a$  варьируется от  $\Delta a_{\min}$  до  $\Delta a_{\max}$ . Для каскадных фильтров в этот алгоритм, как было отмечено выше, встроена процедура эвристической расстановки звеньев. Во многих случаях использование этой процедуры вместо двух упрощенных расстановок позволяет найти решения с меньшей (на 1- 2 бита) длиной слова коэффициентов.



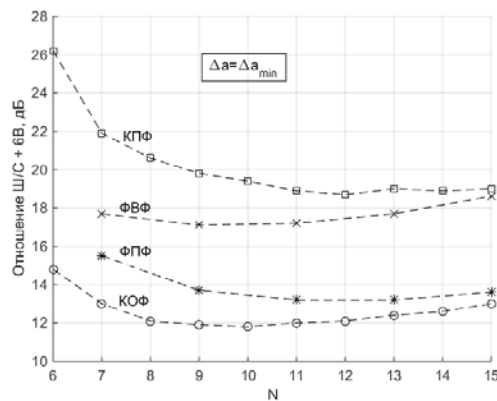
а



б



в



г

Рисунок 1. Зависимости отношения Ш/С от порядка фильтра для структур а) КПФ, б) КОФ, в) и г) КПФ, КОФ, ФПФ, ФВФ. Кривые 1 и 2 соответствуют расстановке звеньев в порядке уменьшения и увеличения полюсных радиусов, а кривая 3 - эвристической расстановке.

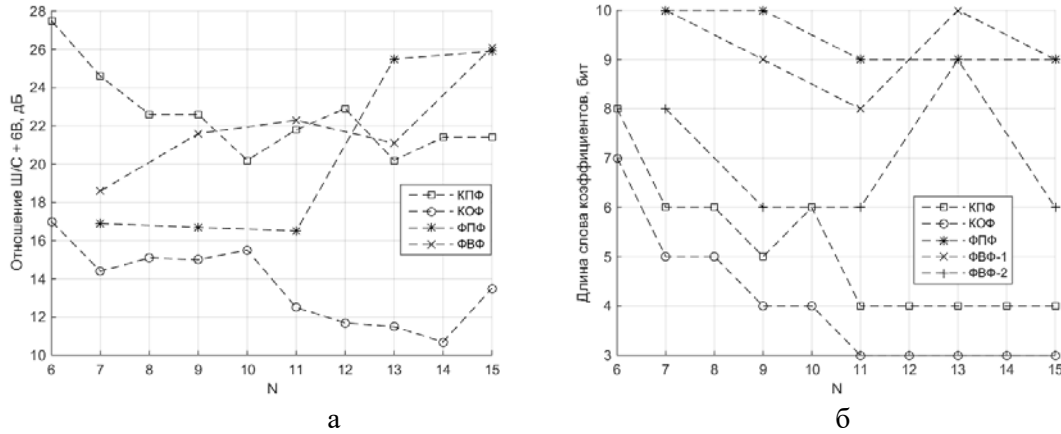


Рисунок 2. Зависимости отношения Ш/С при квантованных коэффициентах (а) и длины слова коэффициентов (б) от порядка фильтров для четырех структур

Зависимости длины слова коэффициентов от  $N$  показаны на рисунке 2б. Для структуры на основе фазовых цепей даны две кривые соответствующие обычному (обозначение ФВФ-1) и модифицированному [3] (ФВФ-2) представлению квантованных коэффициентов. Как следует из рисунка 2б наибольшее снижение длины слова коэффициентов за счет увеличения  $N$  характерно каскадным структурам. Согласно рисункам 2а, б наилучшие результаты для всех значений  $N$  свойственны наиболее сложной структуре КОФ.

**Детальное сравнение двух решений.** Сопоставим два решения для структуры КОФ при  $N=6$  и  $N=11$ . В первом случае имеем три звена второго порядка, количество умножителей -  $9 \times 3 = 27$  и сумматоров -  $6 \times 3 = 18$ . Во втором - одно звено первого порядка и пять - второго, поэтому количество умножителей -  $9 \times 5 + 4 = 49$  и сумматоров -  $9 \times 6 + 2 = 56$ , что на много больше чем в первом случае, т.е. структура при  $N=6$  много проще чем при  $N=11$ .

Теперь оценим сложность структур КОФ с учетом найденных квантованных коэффициентов. Из рассмотрения кривой для КОФ на рисунке 2а следует, что если длина слова переменных при  $N=6$  равна  $B$  бит, то при  $N=11$  она может быть равна  $B-1$  бит, из-за меньшего на  $\approx 5$ дБ отношения Ш/С. Согласно рисунку 2б при  $N=6$  длина слова коэффициентов с учетом знака равна  $M+1=7+1=8$ , а при  $N=11$  - равна  $M+1=3+1=4$ , что сильно упрощает умножители и сумматоры.

В таблицах 1 и 2 представлены квантованные коэффициенты и оценки сложности структуры КОФ при  $N=6$  и  $N=11$  для реализаций на умножителях и с заменой их на сумматоры и элементы сдвига. В этих таблицах  $k^*$  - количество нетривиальных умножителей, а  $k^+$  - количество структурных сумматоров в звене. Тривиальный умножитель – элемент сдвига.

Таблица 1.

Коэффициенты структуры КОФ при  $N=6$  и количество элементов в ее реализации

Звено	А		В	С <sup>t</sup>	d	k <sup>*</sup>	k <sup>+</sup>
1	0,9375	0,1953125	1/128	0,9765625	0,0390625	8	6
	0,171875	0,9375	0,09375	0,0703125			
2	0,9296875	0,1171875	1/128	0,9609375	1/128	7	
	-0,0390625	0,9296875	0,15625	0,0546875			
3	0,953125	0,234375	1/64	0,953125	0,203125	8	
	-0,2578125	0,953125	0,1796875	0,1015625			
Количество элементов:							
нетривиальные умножители $\{\leq 8\text{бит} \times B \text{ бит}\}$ : 23							
структурные сумматоры $\{\leq B+7 \text{ бит}\}$ : 18							
сумматоры $\{\leq B+7 \text{ бит}\}$ , заменяющие умножители: 26							
общее число сумматоров $\{\leq B+7 \text{ бит}\}$ : 44							
регистры $\{B \text{ бит}\}$ : 6							

Таблица 2.

Коэффициенты структуры КОФ при  $N=11$   
и количество элементов в ее реализации

Звено	А		В	С <sup>t</sup>	d	k <sup>x</sup>	k <sup>+</sup>
1	0,75 0	0 0	1/4 0	0,875 0	1/8	2	2
2	0,875 -0,375	1/4 0,875	0 1/4	1 0	1/2	3	4
3	0,75 -1/8	0,375 0,75	0 1/4	0,875 1/8	1/8	4	5
4	0,875 -1/4	1/4 0,875	0 1/4	1 0	1/8	2	4
5	0,75 0	1/4 0,75	0 1/4	0,75 0	0	3	2
6	0,875 -0,375	1/4 0,875	0 1/2	0,75 0	1/2	4	4
Количество элементов: нетривиальные множители $\{\leq 4\text{бит} \times (B-1) \text{ бит}\}$ : 18 структурные сумматоры $\{\leq B-1+3 \text{ бит}\}$ : 21 сумматоры $\{\leq B-1+3 \text{ бит}\}$ , заменяющие множители: 17 общее число сумматоров $\{\leq B-1+3 \text{ бит}\}$ : 38 регистры $\{B-1 \text{ бит}\}$ : 11							

Для первой реализации общее количество нетривиальных множителей и структурных сумматоров при  $N=6$  равно 23 и 18, соответственно, а при  $N=11$  эти значения равны 18 и 21. Для второй реализации общее количество сумматоров (структурные + сумматоры, заменяющие все множители) равно 44 и 38, соответственно при  $N=6$  и  $N=11$ . Таким образом, с учетом длин слов, указанных в фигурных скобках в таблицах 1 и 2, обе реализации при  $N=11$  оказываются проще, чем при  $N=6$ , хотя содержат большее число регистров (элементов задержки). Интересно отметить, что значения неравномерности ХГВЗ в полосе пропускания обсуждаемых фильтров при  $N=6$  и  $N=11$  соответственно равны 57,6 и 14,4 отсчетов частоты дискретизации.

**Заключение.** Рассмотрены четыре структуры БИХ-фильтров: две каскадные на звеньях прямой и оптимальной формы и две на основе фазовых цепей на звеньях прямой и волновой формы. Анализ представленных зависимостей выходного отношения Ш/С и длины слова коэффициентов от порядка этих фильтров показывает, что, преднамеренно увеличивая порядок, можно уменьшить длину слова коэффициентов и при этом сильно не ухудшить или даже несколько улучшить отношение Ш/С. Наибольший эффект достигается для обеих каскадных структур, которым свойственна меньшая длина слова коэффициентов в сравнении с двумя другими. В зависимости от структуры и порядка  $N$  отношение Ш/С меняется в диапазоне  $\approx 17$  дБ, а длина слова коэффициентов - в диапазоне от 3 до 10 бит. Наилучшие результаты по этим параметрам дает каскадная структура на звеньях оптимальной формы, причем для всех рассмотренных значений  $N=6, \dots, 15$ . Дополнительные исследования для граничных частот 0,01 или 0,49 подтверждают этот факт, но для частоты 0,25 преимущественно по отношению Ш/С обладают структуры на звеньях прямой формы и в большей степени - структура на основе фазовых цепей. Преимущество каскадных структур по длине слова коэффициентов утрачивается с требованием очень малой неравномерности АЧХ. Представляется, что для каскадных структур с граничными частотами в окрестности 0,5 и для структур на основе фазовых цепей с граничными частотами во всей основной полосе нет смысла увеличивать порядок фильтров более чем на 2.

## Литература

1. Renfors M., Zigouris E. Signal processor implementation of digital all-pass filters. // IEEE Trans. 1988. ASSP-36. No.5. P. 714-728.
2. Dehner G.F. Noise optimized IIR digital filter design - tutorial and some new aspects. // Signal Processing. 2003. Vol. 83. No. 8. P. 1565-1582.
3. Мингазин А. Альтернативы синтеза БИХ-фильтров. // Компоненты и технологии. 2017. № 6. С.106-116.
4. Gazsi L. Explicit formulas for lattice wave digital filters. // IEEE Trans. 1985. CAS-32. No.1. P. 68-88.
5. Мингазин А.Т., Зорич А.А. Минимизация шума округления каскадных рекурсивных цифровых фильтров. // Электронная техника. 1992. Сер. 10. № 1,2. С. 37-43.